

УДК 532.546

К ТЕОРИИ ФИЛЬТРАЦИОННЫХ ВОЛН ДАВЛЕНИЯ В ТРЕЩИНЕ, НАХОДЯЩЕЙСЯ В ПОРИСТОЙ ПРОНИЦАЕМОЙ СРЕДЕ

В. Ш. Шагапов^{*,**}, З. М. Нагаева^{***}

* Институт механики и машиностроения Казанского научного центра РАН,
420111 Казань, Россия

** Институт механики им. Р. Р. Мавлютова Уфимского научного центра РАН,
450054 Уфа, Россия

*** Уфимский государственный нефтяной технический университет, 450062 Уфа, Россия
E-mails: Shagapov@rambler.ru, Nagaeva_Zilya@mail.ru

Изучены фильтрационные волны давления в трещинах, находящихся в пористой проницаемой среде. Проанализировано влияние пористости и проницаемости пласта и трещины, ширины трещины, а также реологических свойств насыщающего флюида на динамику возмущений в трещине. Показано, что в пористом проницаемом пласте трещина является волновым каналом, по которому распространяются низкочастотные колебания давления в скважинах. Получены точные решения, описывающие эволюцию полей давления в трещине при мгновенном изменении давления в скважине на постоянную величину. На основе этих решений определены соответствующие зависимости расхода флюида от времени и давления на границах.

Ключевые слова: гидроразрыв пласта, трещина, волны давления, интегродифференциальное уравнение, дисперсионный анализ.

DOI: 10.15372/PMTF20170512

Введение. Одним из основных способов интенсификации добычи нефти из низкопроницаемых пластов является гидроразрыв пластов (ГРП). В работе [1] подробно описаны теоретические основы технологий осуществления ГРП, а также методика инженерных расчетов продуктивных пластов после ГРП. Теория гидроразрыва пластов, основанная на совместном решении уравнений гидродинамики и теории упругости, предложена в работе [2] и развита в [3–8]. Известно, что контроль характеристик гидроразрыва, положения трещин в пласте можно осуществлять с использованием акустического зондирования [9], гидропрослушивания и гидродинамических испытаний скважин [10]. Динамика фильтрационных волн в трещинах и трещиновато-пористых средах исследовалась в [11, 12]. В [13] изучалось распространение волн в трещиноватом слое, заполненном жидкостью, при отсутствии фильтрационных потоков в окружающие упругие горные породы.

В данной работе рассмотрены некоторые модельные задачи о распространении возмущений давления по трещинам с учетом фильтрации в окружающее пористое пространство, используемые в технологиях гидропрослушивания.

1. Основные уравнения. Рассмотрим вертикальную трещину (рис. 1) в однородном пласте, образовавшуюся в результате гидроразрыва пласта и представляющую собой ка-

Работа выполнена при финансовой поддержке Российского научного фонда (код проекта 15-11-20022).

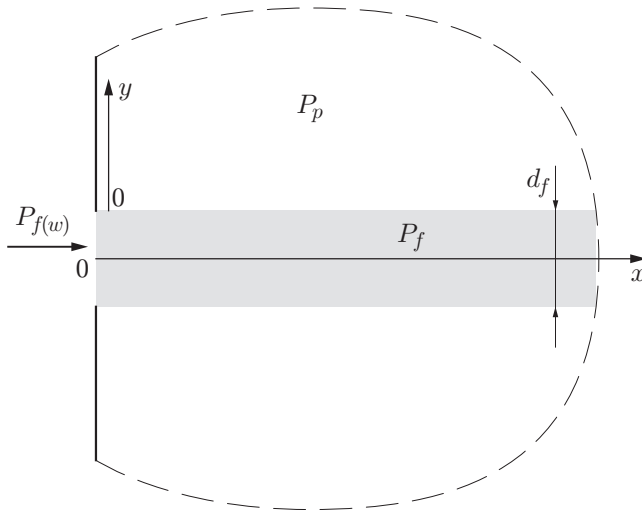


Рис. 1. Схема трещины (заштрихованная область) в пласте

нал прямоугольного сечения, в котором находится пористая проницаемая среда. (На рис. 1 P_f , P_p , $P_{f(w)}$ — давление в трещине ($0 < x < \infty$), пласте ($0 < x < \infty$, $0 < y < \infty$) и призабойной зоне ($x = 0$.) Высота трещины вдоль оси скважины (перпендикулярно плоскости рисунка) и ширина трещины соответственно равны h_f и d_f , причем $h_f \gg d_f$. Влиянием силы тяжести будем пренебрегать. Скелеты пористой среды в пласте и трещине будем считать несжимаемыми. Запишем уравнение сохранения массы для флюида, находящегося в полубесконечной трещине, для единицы высоты трещины:

$$d_f \left(m_f \frac{\partial \rho_f}{\partial t} + \frac{\partial (\rho_f v_f)}{\partial x} \right) = (-2\rho_p v_p)|_{y=0} \quad (0 < x < \infty). \quad (1.1)$$

Здесь m_i , ρ_i , v_i — пористость, плотность и скорость фильтрации флюида; нижний индекс принимает значения f и p , соответствующие трещине и окружающей ее пористой среде. Слагаемое в правой части (1.1) задает интенсивность притока флюида через боковые стенки трещины, отнесенную к единице ее площади. Поэтому для определения этого слагаемого необходимо учитывать процесс фильтрации в пористой среде вне трещины. Поскольку вблизи стенок трещин для градиентов давления в пласте выполняется условие $|\partial P_p / \partial x| \ll |\partial P_p / \partial y|$ вследствие существенного различия проницаемостей в трещине и пласте ($k'_f \gg k'_p$), будем полагать, что фильтрационное течение в пласте направлено перпендикулярно стенкам трещины. С учетом этого допущения запишем уравнение сохранения массы

$$m_p \frac{\partial \rho_p}{\partial t} + \frac{\partial (\rho_p v_p)}{\partial y} = 0 \quad (0 < x < \infty, \quad 0 < y < \infty). \quad (1.2)$$

Для описания процесса фильтрации в трещине и окружающем ее пористом пространстве примем закон Дарси

$$v_f = -\frac{k'_f}{\mu} \frac{\partial P_f}{\partial x} \quad (0 < x < \infty), \quad v_p = -\frac{k'_p}{\mu} \frac{\partial P_p}{\partial y} \quad (0 < x < \infty, \quad 0 < y < \infty), \quad (1.3)$$

где k'_i ($i = f, p$) — коэффициент проницаемости; μ — динамическая вязкость жидкости (флюида).

Принятая модель не учитывает многомерные эффекты фильтрации вблизи скважины, так как длина этого участка канала существенно меньше общей длины канала. Диапазоны значений переменных x , y $0 < x < \infty$, $0 < y < \infty$ соответствуют начальной стадии процесса, когда возмущение давления от скважины не достигло правой границы трещины.

Сжимаемость флюида будем учитывать в акустическом приближении

$$P_i - P_0 = C^2(\rho_i - \rho_0) \quad (i = f, p), \quad (1.4)$$

где C — скорость звука для флюида; нижний индекс “0” у давления и плотности соответствует их невозмущенным значениям. Тогда уравнения (1.1), (1.2) с учетом (1.3), (1.4) можно привести к виду

$$\frac{\partial P_f}{\partial t} = \varkappa_f \frac{\partial^2 P_f}{\partial x^2} + 2 \frac{m_p}{m_f} \frac{\varkappa_p}{d_f} \left(\frac{\partial P_p}{\partial y} \right) \Big|_{y=0} \quad (0 < x < \infty); \quad (1.5)$$

$$\frac{\partial P_p}{\partial t} = \varkappa_p \frac{\partial^2 P_p}{\partial y^2} \quad (0 < x < \infty, \quad 0 < y < \infty), \quad (1.6)$$

где

$$\varkappa_i = \frac{k'_i \rho_0 C^2}{m_i \mu} \quad (i = f, p).$$

Заметим, что P_f является функцией переменных t, x , а P_p — функцией переменных t, x, y . Система уравнений (1.5), (1.6) может быть сведена к одному интегродифференциальному уравнению для P_f . Давление P_p на стенке равно P_f , а вдали от трещины в пористой среде давление однородное и равно P_0 :

$$P_p = P_f \quad (y = 0), \quad P_p = P_0 \quad (y \rightarrow \infty).$$

Согласно принципу Дюамеля [14] решение уравнения (1.6), удовлетворяющее начальному и граничному условиям

$$P_p = P_0 \quad (t \leq t_0, \quad 0 < y < \infty), \quad P_p = P_f \quad (t > t_0, \quad y = 0),$$

может быть записано в виде

$$P_p - P_0 = \int_{t_0}^t \frac{\partial u(y, t - \tau)}{\partial t} (P_f(\tau, x) - P_0) d\tau, \quad u(y, t - \tau) = \frac{2}{\sqrt{\pi}} \int_{y/(2\sqrt{\varkappa_p(t-\tau)})}^{+\infty} e^{-\alpha^2} d\alpha. \quad (1.7)$$

Подставляя (1.7) в уравнение (1.5) и полагая $t_0 = -\infty$, после ряда преобразований получаем следующее интегродифференциальное уравнение:

$$\frac{\partial P_f}{\partial t} = \varkappa_f \frac{\partial^2 P_f}{\partial x^2} - 2 \frac{m_p}{m_f} \frac{\varkappa_p}{d_f} \int_{-\infty}^t \frac{\partial (P_f(\tau, x) - P_0)}{\partial \tau} \frac{d\tau}{\sqrt{\pi \varkappa_p(t-\tau)}}. \quad (1.8)$$

2. Дисперсионный анализ. Уравнение (1.8) является линейно-однородным для функции $\Delta P_f = P_f - P_0$. Будем искать его решение в виде затухающей бегущей волны:

$$\Delta P_f = A_f^{(p)} e^{-i(\omega t - K_f x)}. \quad (2.1)$$

Подставляя (2.1) в (1.8), из условия существования нетривиального решения ($A_f^{(p)} \neq 0$) получаем дисперсионное уравнение

$$K_f^2 = i \left(\frac{\omega}{\varkappa_f} + 2 \frac{m_p}{m_f} \frac{\sqrt{\varkappa_p}}{\varkappa_f} \frac{\sqrt{i\omega}}{d_f} \right), \quad (2.2)$$

где $\omega > 0$ — круговая частота колебаний; $K_f = k_f + id_f$ — комплексное волновое число, причем действительная часть волнового числа k_f определяет фазовую скорость

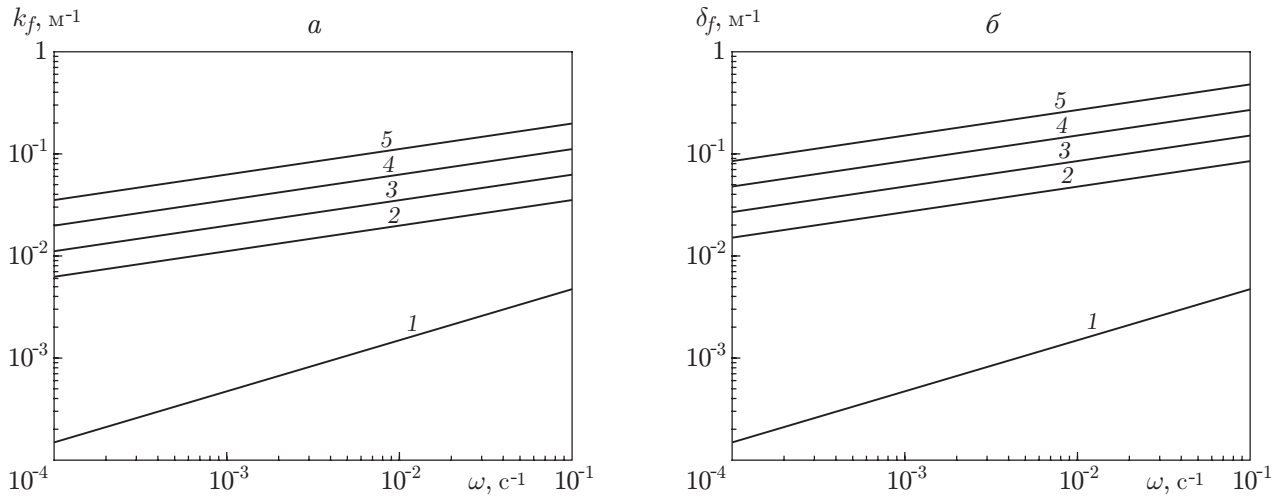


Рис. 2. Зависимости волнового числа (а) и коэффициента затухания (б) от частоты при различных значениях коэффициента проницаемости пористой среды k'_p :
 1 — $k'_p = 0$, 2 — $k'_p = 10^{-15} \text{ м}^2$, 3 — $k'_p = 10^{-14} \text{ м}^2$, 4 — $k'_p = 10^{-13} \text{ м}^2$, 5 — $k'_p = 10^{-12} \text{ м}^2$

$C_{(Ph)} = \omega/k_f$, а мнимая часть δ_f — коэффициент затухания, характеризующий глубину проникания гармонических волн.

На рис. 2 представлены зависимости волнового числа k_f и коэффициента затухания δ_f от частоты ω при $m_p = m_f = 10^{-1}$, $k'_f = 10^{-10} \text{ м}^2$, $d_f = 5 \cdot 10^{-3} \text{ м}$. В качестве флюида рассматривалась вода ($\rho_0 = 10^3 \text{ кг/м}^3$, $C = 1500 \text{ м/с}$, $\mu = 10^{-3} \text{ Па} \cdot \text{с}$).

Определим характерную частоту ω_* , при которой модули первого и второго слагаемых в правой части (2.2) имеют один порядок. Из этого условия с учетом выражения для \varkappa_p в (1.6) получаем

$$\omega_* = 4 \frac{m_p}{m_f^2} \frac{k'_p \rho_0 C^2}{\mu d_f^2}.$$

Из анализа дисперсионного уравнения (2.2) следует, что при частотах $\sqrt{\omega} \ll \sqrt{\omega_*}$ первое слагаемое в правой части (2.2), зависящее от сжимаемости флюида в трещине, по модулю значительно меньше второго слагаемого. В важных для практики задачах наибольший интерес представляет низкочастотный диапазон ($\sqrt{\omega} \ll \sqrt{\omega_*}$) дисперсионного уравнения. Это условие можно записать с использованием критического времени. Введем масштаб времени волнового процесса $\tilde{t} = \omega^{-1}$ и критическое время $t_* = \omega_*^{-1}$. Тогда из полученного выше условия для частот следует $\tilde{t} \gg t_*$.

Как отмечено выше, найденное условие для характерных частот и времен выполняется в большинстве случаев, представляющих практический интерес. Поэтому далее вместо (2.2) будем использовать упрощенное дисперсионное выражение

$$K^2 = 2 \frac{m_p}{m_f} \frac{\sqrt{\varkappa_p}}{\varkappa_f} \frac{\sqrt{-i\omega}}{d_f}. \quad (2.3)$$

Используя представление $-i = \exp(3\pi i/2)$ в соответствии с формулой Эйлера, из (2.3) получаем соотношения

$$k_f = \sqrt{2} \frac{m_p}{m_f} \frac{\sqrt{\varkappa_p \omega}}{\varkappa_f d_f} \cos\left(\frac{3\pi}{8}\right), \quad \delta_f = \sqrt{2} \frac{m_p}{m_f} \frac{\sqrt{\varkappa_p \omega}}{\varkappa_f d_f} \sin\left(\frac{3\pi}{8}\right). \quad (2.4)$$

Отсюда для декремента затухания $\Delta = 2\pi\delta/k$ следует $\Delta = 2\pi \operatorname{tg}(3\pi/8) \approx 15,2$. Таким образом, на расстоянии порядка длины волны рассматриваемые фильтрационные волны давления практически полностью затухают (их амплитуда уменьшается в $e^{15} \approx 3,16 \times 10^5$ раз).

3. Распространение гармонических колебаний давления от скважины по трещине. Пусть в скважине, от которой распространяется вертикальная трещина, давление флюида меняется по закону

$$P_{f(w)} = P_0 + A_{(w)}^{(p)} \cos \omega t. \quad (3.1)$$

Полагаем, что источник гармонических волн функционирует в течение достаточно большого промежутка времени, поэтому в трещине и пористой среде вблизи нее устанавливаются периодические колебания. Тогда решение, описывающее распространение давления в трещине и удовлетворяющее граничному условию (3.1) при $x = 0$, можно записать в виде

$$P_f = P_0 + A_{(w)}^{(p)} e^{-\delta_f x} \cos(\omega t - k_f x) \quad (3.2)$$

(k_f, δ_f определяются на основе формул (2.4)). Согласно решению (3.2) давление в каждой точке трещины с координатой x совершает синусоидальные колебания с круговой частотой ω и амплитудой

$$A_f^{(p)} = A_{(w)}^{(p)} e^{-\delta_f x}.$$

При этом сдвиг по фазе относительно колебаний давления в скважине равен

$$\Delta\varphi_f^{(p)} = k_f x.$$

На рис. 3 представлены распределения амплитуды

$$\Delta_f = A_f^{(p)} / A_{(w)}^{(p)} = e^{-\delta_f x}.$$

Для параметров пласта, трещины и флюида приняты следующие значения: $d_f = 10^{-2}$ м, $k'_f = 10^{-10}$ м², $k'_p = 10^{-14}$ м², $m_f = 10^{-1}$, $m_p = 10^{-1}$, $\mu = 10^{-3}$ Па·с. Далее во всех рассматриваемых случаях, за исключением случаев, оговоренных особо, параметры пласта, трещины и флюида имеют те же значения, что и для рис. 2.

На рис. 4 показана эволюция поля давлений в трещине, описываемая решением (3.2) при $\omega = 10^{-3}$ с⁻¹.

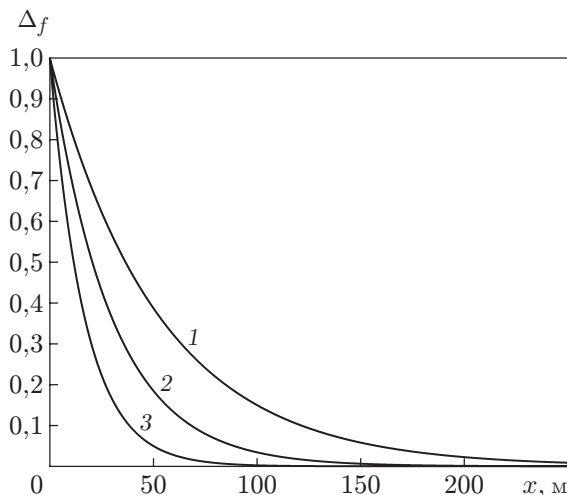


Рис. 3. Распределение амплитуды колебаний давления вдоль трещины при различных значениях частоты:
1 — $\omega = 10^{-4}$ с⁻¹, 2 — $\omega = 10^{-3}$ с⁻¹, 3 — $\omega = 10^{-2}$ с⁻¹

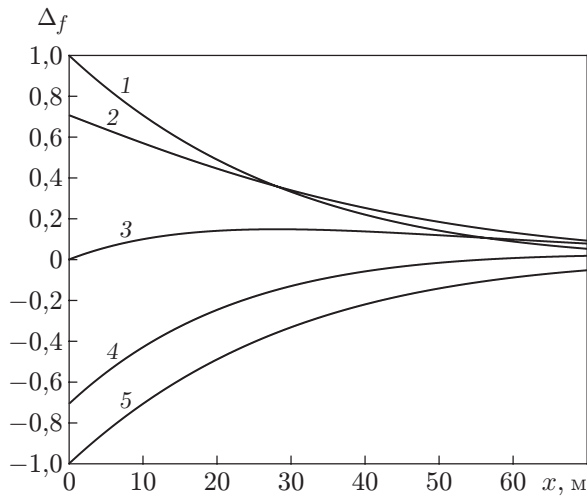


Рис. 4

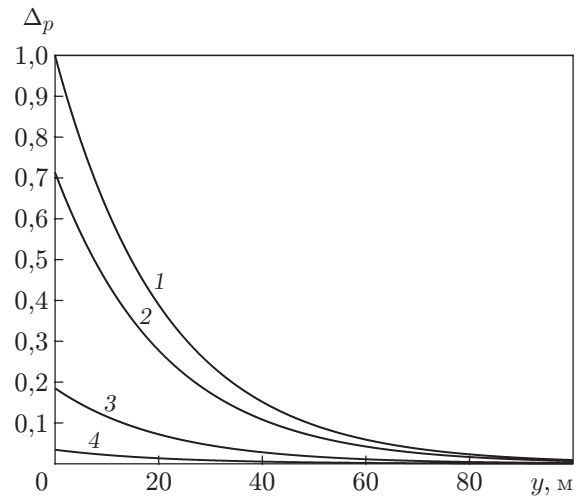


Рис. 5

Рис. 4. Эволюция безразмерных полей возмущения давления в трещине в течение полупериода колебаний давления в скважине, описываемая формулой (3.2):
 1 — $\omega t = 0$, 2 — $\omega t = \pi/4$, 3 — $\omega t = \pi/2$, 4 — $\omega t = 3\pi/4$, 5 — $\omega t = \pi$

Рис. 5. Зависимость амплитуды колебаний давления от расстояния до трещины при различных значениях координаты x :
 1 — $x = 0$, 2 — $x = 10$ м, 3 — $x = 50$ м, 4 — $x = 100$ м

Используя решение (3.2), можно получить решение, описывающее поле давления в пористой среде вблизи трещины:

$$P_p = P_0 + A_{(w)}^{(p)} e^{-\delta_f x - \delta_p y} \cos(\omega t - k_f x - k_p y), \quad k_p = \delta_p = \sqrt{\omega/(2\kappa_p)}.$$

Следовательно, в каждой точке пористой среды ($x > 0$, $y > 0$) давление флюида совершает периодические колебания с амплитудой

$$A_p^{(p)} = A_{(w)}^{(p)} e^{-\delta_f x - \delta_p y}$$

и со сдвигом по фазе

$$\Delta\varphi_p^{(p)} = k_f x + k_p y.$$

На рис. 5 показано распределение амплитуд давлений $\Delta_p = A_p^{(p)}/A_{(w)}^{(p)} = e^{-\delta_f x - \delta_p y}$ по координате y при $\omega = 10^{-3} \text{ с}^{-1}$.

4. Распространение цилиндрических волн давления. Рассмотрим также гармонические волны, распространяющиеся от скважины в однородной пористой проницаемой среде. Основное уравнение фильтрации для осесимметричного течения записывается в виде

$$\frac{\partial P_p}{\partial t} = \kappa_p \frac{1}{r} \frac{\partial}{\partial r} \left(r \frac{\partial P_p}{\partial r} \right) \quad (a < r < \infty), \quad (4.1)$$

где $r = a$ — радиус скважины.

Пусть давление в скважине меняется по синусоидальному закону, аналогичному (3.1):

$$P_p = P_0 + A_{(w)}^{(p)} \cos \omega t \quad (r = a). \quad (4.2)$$

Давление на бесконечности равно невозмущенному значению:

$$P_p = P_0 \quad (r \rightarrow \infty). \tag{4.3}$$

Решение уравнения (4.1) будем искать в виде

$$P_p = P_0 + \text{Re} (A_p^{(p)} e^{-i\omega t}). \tag{4.4}$$

Подставляя выражение (4.4) в (4.1), получаем уравнение для $A_p^{(p)}$

$$-\frac{i\omega}{\kappa_p} A_p^{(p)} = \frac{1}{r} \frac{d}{dr} \left(r \frac{d}{dr} A_p^{(p)} \right),$$

решение которого, удовлетворяющее граничным условиям (4.2), (4.3), имеет вид

$$A_p^{(p)} = A_{(w)}^{(p)} \frac{K_0(r\sqrt{-i\omega/\kappa_p})}{K_0(a\sqrt{-i\omega/\kappa_p})}, \quad K_0(z) = \int_0^{+\infty} e^{-z \text{ch} \zeta} d\zeta \tag{4.5}$$

($K_0(z)$ — функция Макдональда нулевого порядка) [14].

Подставляя (4.5) в (4.4), получаем решение, описывающее распространение давления вокруг скважины:

$$\Delta P_p = A_{(w)}^{(p)} \frac{N_0(r\sqrt{\omega/\kappa_p})}{N_0(a\sqrt{\omega/\kappa_p})} \cos(\omega t - \Delta\varphi_p).$$

Здесь

$$K_0(z\sqrt{-i}) = \text{ker}_0(z) - i \text{kei}_0(z) = N_0(z) e^{-i\varphi(z)},$$

$$N_0(z) = \sqrt{\text{ker}_0^2(z) + \text{kei}_0^2(z)}, \quad \varphi(z) = \text{arctg}(\text{ker}_0(z)/\text{kei}_0(z)),$$

$$\Delta\varphi = \varphi(r\sqrt{\omega/\kappa_p}) - \varphi(a\sqrt{\omega/\kappa_p}).$$

На рис. 6 представлено распределение безразмерной амплитуды колебаний давления в пористой среде $\Delta_p = \Delta P_p/A_{(w)}^{(p)}$. Радиус скважины принят равным $a = 10^{-1}$ м. Из рис. 3, 5, 6 следует, что характерное расстояние, на котором затухают гармонические возмущения давления, распространяющиеся вдоль трещины, а также в пласте вблизи нее, может

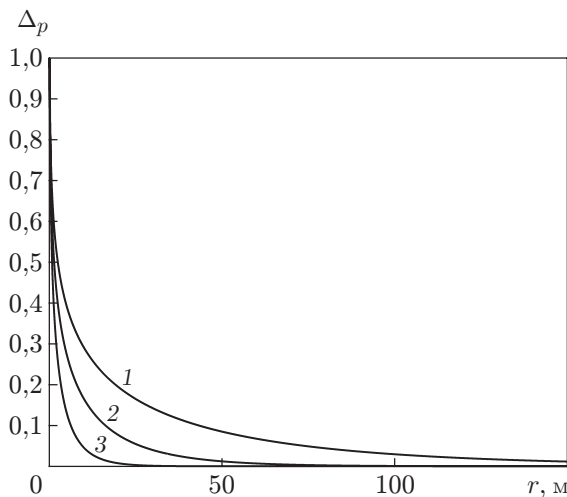


Рис. 6. Распределение амплитуды давления вокруг скважины в отсутствие радиальных трещин при различных значениях круговой частоты:
 1 — $\omega = 10^{-4} \text{ c}^{-1}$, 2 — $\omega = 10^{-3} \text{ c}^{-1}$, 3 — $\omega = 10^{-2} \text{ c}^{-1}$

значительно превышать характерное расстояние при отсутствии радиальной трещины, особенно в случае слабопроницаемых пластов ($k'_p \leq 10^{-13}$ м²). В частности, на рис. 3, 6 видно, что при отсутствии трещины амплитуда волны с круговой частотой $\omega = 10^{-3}$ практически полностью затухает на расстоянии $r \approx 30$ м, в то время как при наличии трещины полное затухание происходит при $x \approx 100$ м. Следовательно, радиальная трещина, распространяющаяся от скважины, является волновым каналом для передачи низкочастотных возмущений давления в скважине на значительные расстояния (порядка 10^2 м) [11].

5. Фильтрация флюида к скважине через трещину при мгновенном уменьшении давления. На основе уравнения (1.8) (полагая левую часть (1.8) равной нулю) рассмотрим процесс фильтрации флюида к скважине (или от скважины). Пусть в исходном состоянии ($t \leq 0$) флюид в трещине и окружающей ее пористой среде находится в состоянии покоя ($v_f = v_p = 0$, $P = P_0$), в момент времени $t = 0$ давление в скважине изменяется на величину $\Delta P_{f(w)}$ и далее поддерживается постоянным: $\Delta P_{f(w)} = \text{const}$ ($\Delta P_{f(w)} = P_{f(w)} - P_0$). Если $\Delta P_{f(w)} > 0$, то давление увеличивается (происходит закачивание флюида в пласт через трещину), если $\Delta P_{f(w)} < 0$, то давление уменьшается (откачивание жидкости). С учетом принятых допущений уравнение (1.8) и система начальных и граничных условий записываются в виде

$$\frac{\partial^2 \Delta P_f}{\partial x^2} = \frac{2}{d_f} \frac{m_p}{m_f} \frac{\kappa_p}{\kappa_f} \int_0^t \frac{\partial \Delta P_f}{\partial \tau} \frac{d\tau}{\sqrt{\pi \kappa_p (t - \tau)}}, \quad \Delta P_f = P_f - P_0 \quad (t > 0, x > 0); \quad (5.1)$$

$$\Delta P_f = 0 \quad (t \leq 0, x > 0), \quad \Delta P_f = \Delta P_{f(w)} \quad (t > 0, x = 0). \quad (5.2)$$

Далее будем использовать преобразование Лапласа. Для этого введем обозначение

$$\Delta \bar{P}_f = \int_0^\infty e^{-\lambda t} \Delta P_f dt.$$

Тогда из уравнения (5.1) с учетом (5.2) получаем обыкновенное дифференциальное уравнение

$$\frac{d\Delta \bar{P}_f^2}{dx^2} = \frac{2}{d_f} \frac{m_p}{m_f} \frac{\sqrt{\kappa_p}}{\kappa_f} \sqrt{\lambda} \Delta \bar{P}_f. \quad (5.3)$$

Из граничного условия (5.2) следует

$$\Delta \bar{P}_f = \lambda^{-1} \Delta P_{f(w)} \quad (x = 0). \quad (5.4)$$

Из уравнения (5.3) с учетом (5.4), а также с учетом ограниченности ΔP_f на бесконечности ($x \rightarrow \infty$) получаем

$$\Delta \bar{P}_f = \frac{\Delta P_{f(w)}}{\lambda} e^{-\sqrt{A\lambda^{1/2}} x} \quad \left(A = \frac{2}{d_f} \frac{m_p}{m_f} \frac{\sqrt{\kappa_p}}{\kappa_f} \right).$$

Тогда, используя формулу обращения Меллина, решение можно записать в виде

$$\Delta P_f = \frac{\Delta P_{f(w)}}{2\pi i} \int_{\gamma-i\infty}^{\gamma+i\infty} \frac{e^{\lambda t - \sqrt{A\lambda^{1/2}} x}}{\lambda} d\lambda. \quad (5.5)$$

Здесь подынтегральная функция является аналитической на всей плоскости комплексной переменной λ , за исключением начала координат, поэтому она является однозначной и

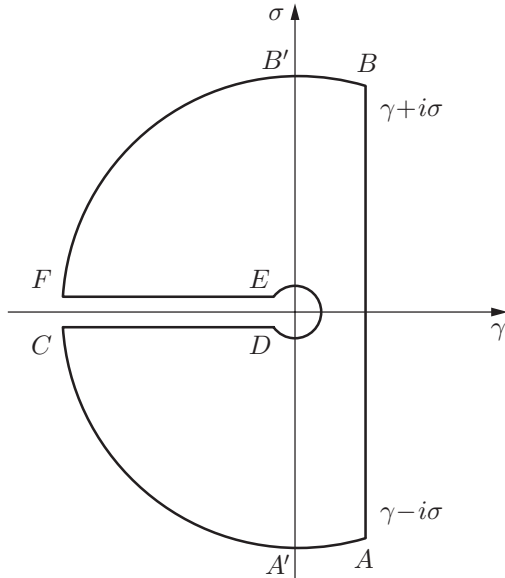


Рис. 7

Рис. 7. Контур интегрирования

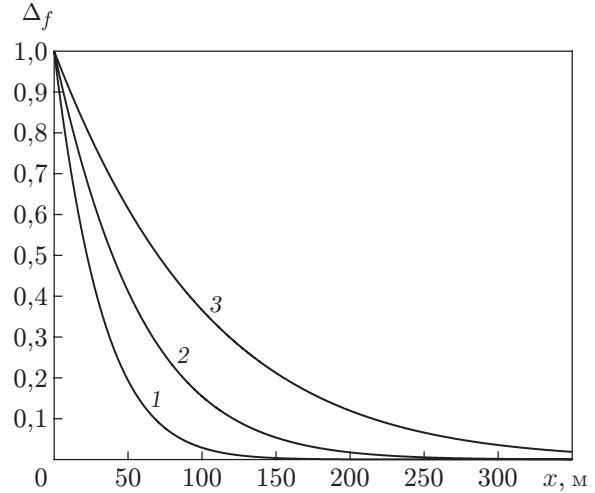


Рис. 8

Рис. 8. Поле давления в различные моменты времени:

1 — $t = 10^3$ с, 2 — $t = 10^4$ с, 3 — $t = 10^5$ с

аналитической в плоскости с разрезом вдоль отрицательного направления действительной оси. Согласно теореме Коши интегрирование вдоль прямой $(\gamma - i\sigma; \gamma + i\sigma)$ можно заменить интегрированием вдоль любой кривой, которая оканчивается точками $\gamma \pm i\sigma$ и не пересекает разрез (рис. 7). Следуя [15], решение (5.5) можно привести к виду

$$\Delta P_f = \Delta P_{f(w)} \Delta_f(t, x), \quad \Delta_f(t, x) = 1 - \frac{4}{\pi} \int_0^\infty \frac{\sin(\sqrt{A/2} x \xi)}{\xi} e^{-t\xi^4 - \sqrt{A/2} x \xi} d\xi. \quad (5.6)$$

Функцию $\Delta_f(t, x)$ представим следующим образом:

$$\Delta_f(z) = 1 - \frac{1}{\pi} \int_0^\infty \frac{\sin(z\eta^{1/4})}{\eta} e^{-\eta - z\eta^{1/4}} d\eta, \quad z = \sqrt{\frac{A}{2}} \frac{x}{t^{1/4}}, \quad \eta = t\xi^4. \quad (5.7)$$

Из (5.7) следует, что решение является автомодельным, поскольку оно зависит от одной безразмерной переменной z . На рис. 8 приведены распределения давления при $d_f = 10^{-2}$ м, $k'_f = 10^{-10}$ м², $k'_p = 10^{-14}$ м², $m_f = 10^{-1}$, $m_p = 10^{-1}$, $\mu = 10^{-3}$ Па·с, $A = 0,04$ с^{1/2}/м².

Для объемного расхода флюида, отнесенного к единице длины трещины и задаваемого формулой

$$q = -\frac{d_f k'_f}{\mu} \left(\frac{\partial P_f}{\partial x} \right) \Big|_{x=0},$$

на основе решения (5.6) получаем

$$q = \frac{4}{\pi} \sqrt{\frac{A}{2}} \frac{d_f k'_f}{\mu} \Delta P_{f(w)} \int_0^\infty e^{-t\xi^4} d\xi. \quad (5.8)$$

Выполнив замену $t\xi^4 = z^4$ и учитывая, что значение гамма-функции равно $\Gamma(5/4) \approx 0,906$, из выражения (5.8) находим

$$q = \frac{3,6}{\pi} \sqrt{\frac{A}{2}} \frac{dfk'_f}{\mu} \frac{\Delta P_{f(w)}}{t^{1/4}}.$$

Заключение. Таким образом, трещина в пористой среде является волновым каналом для передачи низкочастотных колебаний давления в призабойной зоне скважины, что позволяет анализировать результаты гидроразрыва путем гидропрослушивания. Кроме того, полученные аналитические решения, соответствующие постоянному перепаду давления, могут быть использованы для интерпретации результатов гидродинамических испытаний скважин.

ЛИТЕРАТУРА

1. **Экономидес М.** Унифицированный дизайн гидроразрыва пласта: От теории к практике / М. Экономидес, Р. Олини, П. Валько. М.: Ин-т компьютер. исслед., 2007.
2. **Желтов Ю. П., Христианович С. А.** О гидравлическом разрыве нефтеносного пласта // Изв. АН СССР. Отд-ние техн. наук. 1955. № 5. С. 3–41.
3. **Abe H., Mura T., Keer L. M.** Growth rate of penny-shaped crack in hydraulic fracturing of rocks // J. Geophys. Res. 1976. V. 81, N 29. P. 5335–5340.
4. **Сарайкин В. А., Слепян Л. И.** Плоская задача о динамике трещины в упругом теле // Изв. АН СССР. Механика твердого тела. 1979. № 4. С. 54–73.
5. **Mitchell S. L., Kuske R., Peirce A. P.** An asymptotic framework for finite hydraulic fractures including leak-off // SIAM J. Appl. Math. 2007. V. 67, N 2. P. 364–386.
6. **Линьков А. М.** Аналитическое решение задачи о гидроразрыве для неньютоновской жидкости // Физ.-техн. пробл. разраб. полез. ископаемых. 2013. № 1. С. 11–21.
7. **Астафьев В. И., Федорченко Г. Д.** Автомодельное решение задачи о развитии трещины гидроразрыва пласта // Вестн. Сам. гос. ун-та. Естеств.-науч. сер. 2007. № 4. С. 34–41.
8. **Каневская Р. Д.** Математическое моделирование разработки месторождений нефти и газа с применением гидравлического разрыва пласта. М.: Недра, 1999.
9. **Шагапов В. Ш., Булатова З. А.** К теории акустического зондирования прискважинных областей пористых и проницаемых горных пород // Геофиз. журн. 2002. Т. 24, № 2. С. 79–91.
10. **Эрлагер Р.** Гидродинамические методы исследования скважин. М.; Ижевск: Ин-т компьютер. исслед., 2006.
11. **Губайдуллин А. А., Кучугурина О. Ю.** Сферические и цилиндрические линейные волны в насыщенных жидкостью пористых средах // Теплофизика высоких температур. 1995. Т. 33, № 1. С. 108–115.
12. **Nigmatullin R. I., Gubaydullin A. A., Shagapov V. Sh.** Numerical investigation of shock and thermal waves in porous saturated medium with phase transitions // Proc. of the Intern. conf. "Porous media: Physics, models, simulation", Moscow, 19–21 Nov. 1997. Singapore; New Jersey; L.; Hong Kong: World Sci. Publ., 1999. P. 15–21.
13. **Крауклис П. В., Голошубин Г. М., Крауклис Л. А.** Медленная волна в слое с конечной пористостью // Зап. науч. семинаров ПОМИ. 1994. Т. 210. С. 146–153.
14. **Тихонов А. Н.** Уравнения математической физики / А. Н. Тихонов, А. А. Самарский. М.: Изд-во Моск. гос. ун-та, 1999.
15. **Диткин В. А.** Операционное исчисление / В. А. Диткин, А. П. Прудников. М.: Высш. шк., 1975.

*Поступила в редакцию 25/III 2016 г.,
в окончательном варианте — 21/IX 2016 г.*